

интервале 0—1 нормального распределения. Все свойства и характеристики этого распределения, в частности среднее квадратическое отклонение $\sigma_{ки}$, определяются одним параметром — генеральным средним коэффициентом использования $k_{ио}$. Наибольшее значение $\sigma_{ки}$ $\sigma_{ки \max} = 0,2$ имеет симметричное распределение $k_{и}$, отвечающее $k_{ио} = 0,5$. При отклонении $k_{ио}$ от значения 0,5 распределение $k_{и}$ становится асимметричным и $\sigma_{ки}$ уменьшается (рис. 2, б).

Л и т е р а т у р а

1. Электрические нагрузки промышленных предприятий/ С.Д.В о л о б р и н с к и й, Г.М.К а я л о в, П.Н.К л е й н, Б.С.М е ш е л ь. — Л., 1971.
2. Методические указания по обследованию электрических нагрузок промышленных предприятий. — М., 1963.
3. К а я л о в Г.М., Г р о д с к и й С.Е. Исследование электрических нагрузок механических цехов тракторного завода. — Электричество, 1961, № 3.
4. С м и р н о в Н.В., Д у н и н—Б а р к о в с к и й И.В. Курс теории вероятностей и математической статистики для технических приложений. — М., 1969.
5. К н я з е в с к и й Б.А., Л и в ш и ц В.С. О коэффициенте использования мощности промышленных электроприемников. — Электричество, 1968, № 1.

УДК 62—82:621.313.3

О.П.Ильин, Г.А.Баханович

РАСЧЕТ УГЛА РАССОГЛАСОВАНИЯ СИНХРОННО—СИНФАЗНОГО ЭЛЕКТРОПРИВОДА С ПЕРЕКРЕСТНЫМИ ОБРАТНЫМИ СВЯЗЯМИ

В ряде промышленных установок часто требуется синхронно-синфазное движение рабочих органов. Обеспечение синхронно-синфазного движения возможно на базе электропривода как постоянного, так и переменного тока.

Наиболее перспективным является электропривод на синхронных двигателях (СД) с автоматическим регулированием возбуждения (АРВ) в функции угла рассогласования θ .

Вопросы АРВ синхронных двигателей в функции угла θ рассматривались в ряде работ [1, 2, 3], где показана возможность (за счет применения АРВ) повышения динамической устойчивости и быстрого гашения качаний при резкопеременной нагрузке. В то же время вопросы динамики синхронно-синфазных систем на синхронных двигателях с использованием АРВ в функции угла θ еще недостаточно изучены.

Как показали теоретические и экспериментальные исследования, обеспечение синфазности и эффективное гашение качаний синхронно-синфазного с идентичными каналами электропривода может быть достигнуто введением

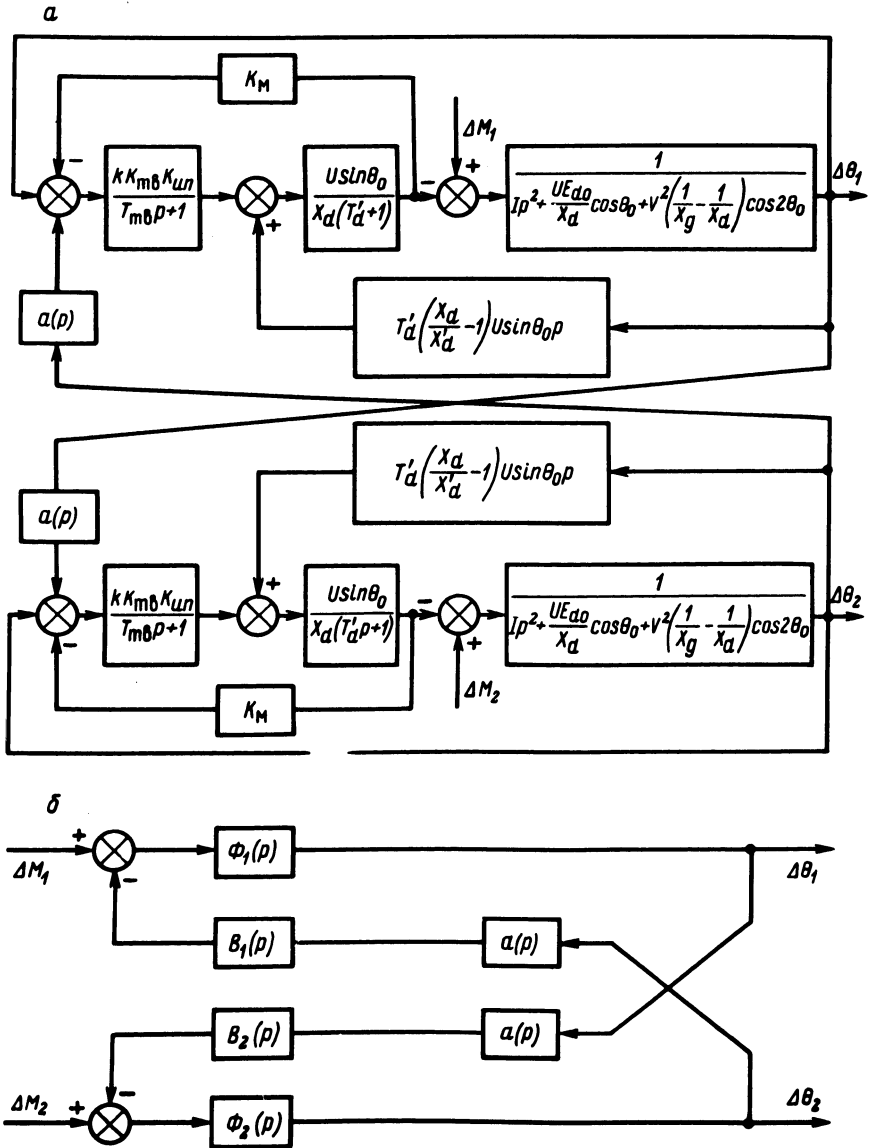


Рис. 1. Структурная схема синхронно-синфазного электропривода с симметричными перекрестными связями.

перекрестных связей $a(p)$ по углу рассогласования, а также введением обратных связей по активной составляющей тока статора СД- K_M . В этом случае линеаризованная структура синхронно-синфазного электропривода при возмущающем воздействии показана на рис. 1, а. Здесь, кроме общепринятых [3] обозначений, обозначено: $K_{ТВ}$, $T_{ТВ}$ — коэффициент усиления и постоянная времени возбудителя; $K_{ИП}$ — коэффициент усиления измерительного преобразователя угла θ .

Обозначим

$$kK_{ТВ} K_{ИП} = K'.$$

Преобразуем структурную схему (рис. 1, а) к виду рис. 1, б. Передаточная функция по возмущению каждого из каналов системы

$$\Phi_1(p) = \Phi_2(p) = \frac{b_0 p^2 + b_1 p + b_2}{a_0 p^4 + a_1 p^3 + a_2 p^2 + a_3 p + a_4},$$

где $b_0 = x_d T_{ТВ} T'_d$;

$$b_1 = x_d (T_{ТВ} + T'_d);$$

$$b_2 = x_d + K' K_M U \sin \theta_0;$$

$$a_0 = J x_d T_{ТВ} T'_d;$$

$$a_1 = J x_d (T_{ТВ} + T'_d);$$

$$a_2 = J x_d + K' K_M J U \sin \theta_0 + T_{ТВ} T'_d U E_{d0} \cos \theta_0 +$$

$$+ T_{ТВ} T'_d x_d U^2 \left(\frac{1}{x_g} - \frac{1}{x_d} \right) \cos 2\theta_0 + T_{ТВ} T'_d \left(\frac{x_d}{x_d} - 1 \right) U^2 \sin^2 \theta_0;$$

$$a_3 = U E_{d0} \cos \theta_0 (T_{ТВ} + T'_d) + x_d U^2 \left(\frac{1}{x_g} - \frac{1}{x_d} \right) \cos 2\theta_0 (T_{ТВ} + T'_d) +$$

$$+ T'_d \left(\frac{x_d}{x_d} - 1 \right) U^2 \sin^2 \theta_0;$$

$$a_4 = U E_{d0} \cos \theta_0 + K' K_M U \sin \theta_0 \frac{U E_{d0}}{x_d} \cos \theta_0 + x_d U^2 \left(\frac{1}{x_g} - \frac{1}{x_d} \right) \cos 2\theta_0 +$$

$$+ K' K_M U \sin \theta_0 U^2 \left(\frac{1}{x_g} - \frac{1}{x_d} \right) \cos 2\theta_0 + K' U \sin \theta_0.$$

Передаточные функции звеньев в цепях перекрестных связей

$$B_1(p) = B_2(p) = \frac{K'U \sin \theta_0}{x_d(T_{TB}p+1)(T_d p+1) + K'K_M U \sin \theta_0}.$$

Структурной схеме (рис. 1, б) соответствует следующая система уравнений, записанных в операторной форме:

$$\begin{cases} \Delta \theta_1(p) = \Phi_1(p) [\Delta M_1(p) - \Delta \theta_2(p) B_1(p) a(p)]; \\ \Delta \theta_2(p) = \Phi_2(p) [\Delta M_2(p) - \Delta \theta_1(p) B_2(p) a(p)]. \end{cases} \quad (1)$$

Полученную систему уравнений приведем к виду

$$\begin{cases} \Delta \theta_1(p) + \Phi_1(p) \Delta \theta_2(p) B_1(p) a(p) = \Phi_1(p) \Delta M_1(p); \\ \Delta \theta_2(p) + \Phi_2(p) \Delta \theta_1(p) B_2(p) a(p) = \Phi_2(p) \Delta M_2(p). \end{cases} \quad (2)$$

Введем обозначения

$$\Phi_1(p) B_1(p) a(p) = \alpha_1(p);$$

$$\Phi_2(p) B_2(p) a(p) = \alpha_2(p);$$

$$\Phi_1(p) = \beta_1(p);$$

$$\Phi_2(p) = \beta_2(p).$$

С учетом введенных обозначений система уравнений (2) запишется

$$\begin{cases} \Delta \theta_1(p) + \alpha_1(p) \Delta \theta_2(p) = \beta_1(p) \Delta M_1(p); \\ \Delta \theta_1(p) \alpha_2(p) + \Delta \theta_2(p) = \beta_2(p) \Delta M_2(p). \end{cases} \quad (3)$$

Рассмотрим матрицы

$$C(p) = \begin{bmatrix} 1 & \alpha_1(p) \\ \alpha_2(p) & 1 \end{bmatrix}; \quad D(p) = \begin{bmatrix} \beta_1(p) & 0 \\ 0 & \beta_2(p) \end{bmatrix}$$

и векторы

$$\Delta \bar{\theta}(p) = \begin{bmatrix} \Delta \theta_1(p) \\ \Delta \theta_2(p) \end{bmatrix}; \quad \Delta \bar{M}(p) = \begin{bmatrix} \Delta M_1(p) \\ \Delta M_2(p) \end{bmatrix}.$$

Тогда систему уравнений (3), описывающих динамику синхронно-синфазной системы, можно записать в векторной форме

$$C(p) \Delta \bar{\theta}(p) = D(p) \Delta \bar{M}(p). \quad (4)$$

Найдем зависимость вектора координат регулируемого параметра объекта от вектора возмущающих воздействий.

Умножим уравнение (4) слева на матрицу $C^{-1}(p)$

$$\Delta \bar{\theta}(p) = C^{-1}(p) D(p) \Delta \bar{M}(p). \quad (5)$$

Введем в рассмотрение матрицу

$$N(p) = C^{-1}(p) D(p), \quad (6)$$

тогда зависимость вектора координат регулируемого параметра от вектора возмущающих воздействий запишется

$$\Delta \bar{\theta}(p) = N(p) \Delta \bar{M}(p). \quad (7)$$

Как видно из выражения (7), каждому значению вектора возмущающих воздействий $\Delta \bar{M}(p)$ ставится в соответствие вектор координат на выходе системы $\Delta \bar{\theta}(p)$.

Принимая во внимание, что

$$C^{-1}(p) = \frac{1}{|C|} \begin{bmatrix} 1 & -\alpha_1(p) \\ -\alpha_2(p) & 1 \end{bmatrix},$$

получим

$$N(p) = \frac{1}{1 - \alpha_1(p)\alpha_2(p)} \begin{bmatrix} \beta_1(p) & \alpha_1(p)\beta_2(p) \\ \alpha_2(p)\beta_1(p) & \beta_2(p) \end{bmatrix}. \quad (8)$$

Из условия идентичности каналов

$$\begin{cases} \alpha_1(p) = \alpha_2(p) = \alpha(p); \\ \beta_1(p) = \beta_2(p) = \beta(p), \end{cases} \quad (9)$$

тогда выражение (7) с учетом (8) и (9) запишется

$$\Delta\theta(p) = \frac{\beta(p) [1 - \alpha(p)] \Delta M_1(p) - \beta(p) [1 - \alpha(p)] \Delta M_2(p)}{1 - \alpha^2(p)}. \quad (10)$$

В частном случае при $\Delta M_1 = \Delta M_2$ рассогласование между роторами синхронных двигателей $\Delta\theta$ в соответствии с выражением (10) равны нулю.

В случае использования асимметричных перекрестных связей, когда $V_1(p) = -V_2(p)$, результирующее рассогласование синхронных двигателей

$$\Delta\theta(p) = \frac{\beta(p) [1 - \alpha(p)] \Delta M_1(p) - \beta(p) [1 - \alpha(p)] \Delta M_2(p)}{1 + \alpha^2(p)}. \quad (11)$$

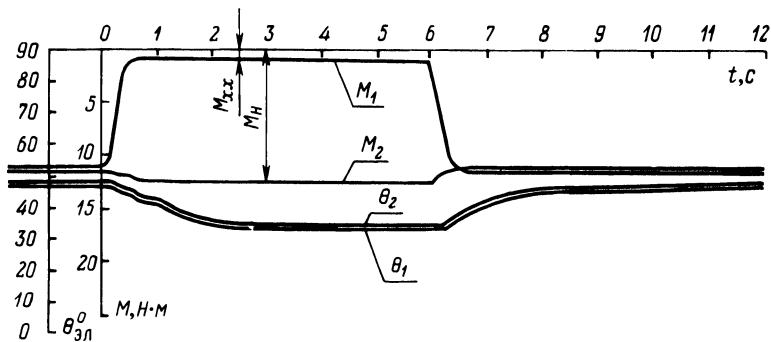


Рис. 2. Оциллограмма переходных процессов синхронно-синфазного электропривода с антисимметричными перекрестными обратными связями.

Как видно из выражения (11) при асимметричной перекрестной связи синхронно-синфазный электропривод обладает статической ошибкой.

На рис. 2 показана оциллограмма переходных процессов синхронно-синфазного электропривода с асимметричными перекрестными связями.

Приведенные в работе выражения (10) и (11) могут быть использованы при проектировании и расчете синхронно-синфазных электроприводов.

Л и т е р а т у р а

1. Б о т в и н н и к М.М. Регулирование возбуждения и статическая устойчивость синхронной машины. — М. — Л., 1950.
2. Н е в р а е в В.Ю., П е т е л и н Д.П. Системы автоматизированного электропривода переменного тока. — М. — Л., 1964.
3. П е т е л и н Д.П. Динамика синхронного привода поршневых компрессорных установок. — М., 1976.